

Corso di aggiornamento

Progettazione strutturale e
Norme Tecniche per le Costruzioni

Le pareti in c.a. nella progettazione sismica
e nell'intervento sull'esistente

Spoletto

4-5 giugno 2015

5 - L'elemento parete: scorrimento

Scorrimento tra parete e impalcato

23/11/1980 - Irpinia e Basilicata

S. Angelo dei Lombardi,
edificio in costruzione

Si nota lo scorrimento
della parete in
corrispondenza della
ripresa di getto

Le barre verticali sono
in genere fuoriuscite
dalla sezione, senza
tranciarsi



foto A. Gherzi

Scorrimento tra testa pilastro e trave più frequente

23/11/1980 - Irpinia e Basilicata

Lioni

Lo scorrimento della testa del pilastro rispetto alla trave è stato tale da far perdere l'appoggio

Le barre verticali sono fuoriuscite dalla sezione, senza tranciarsi, e tirate verso il basso durante il crollo

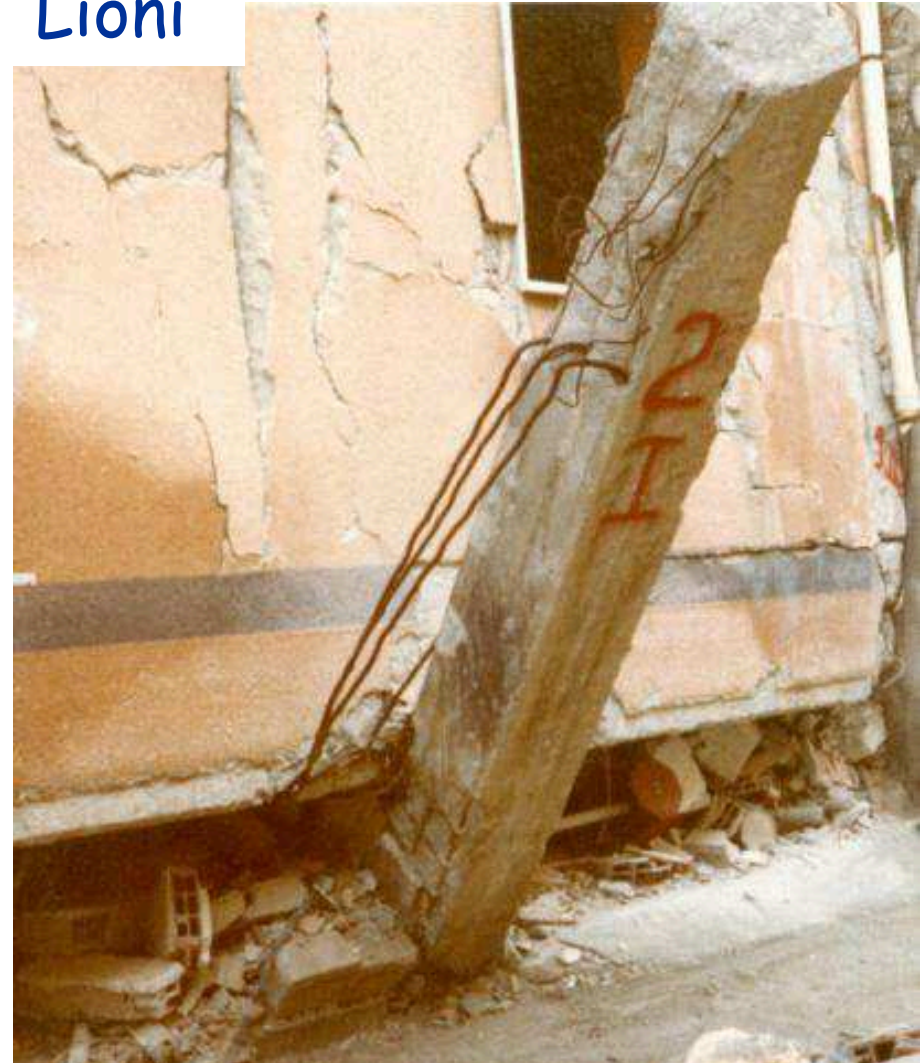
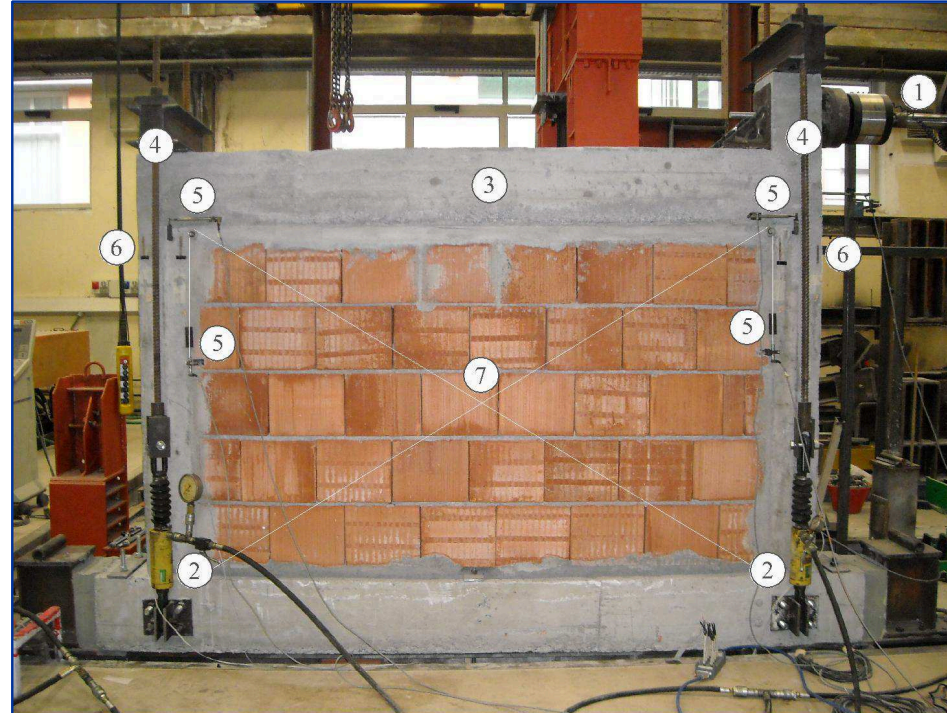


foto A. Gherzi

Verifica a scorrimento
nella zona critica

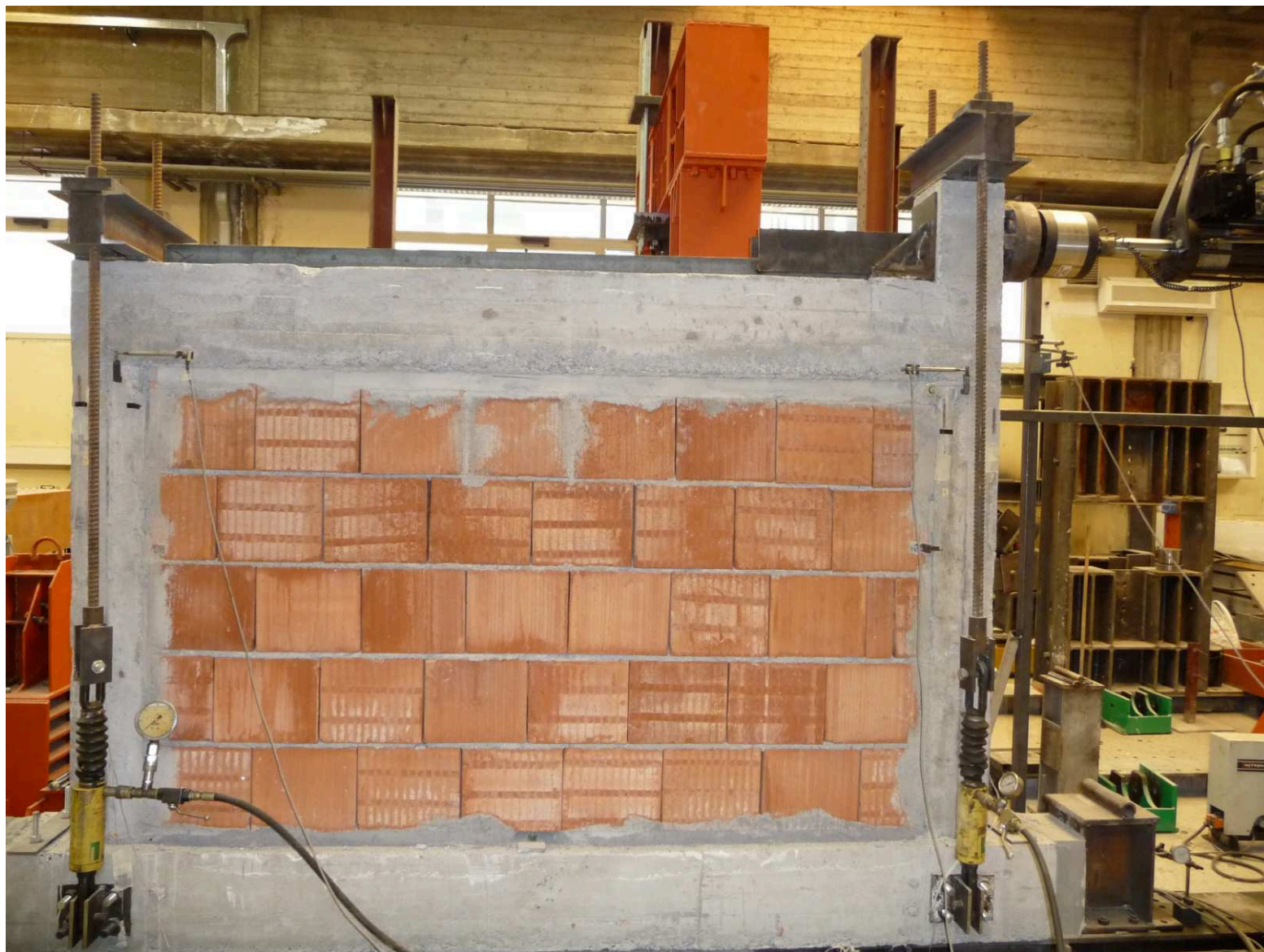
Prova di scorrimento su telaio

Laboratorio Prove Materiali dell'Università di Catania



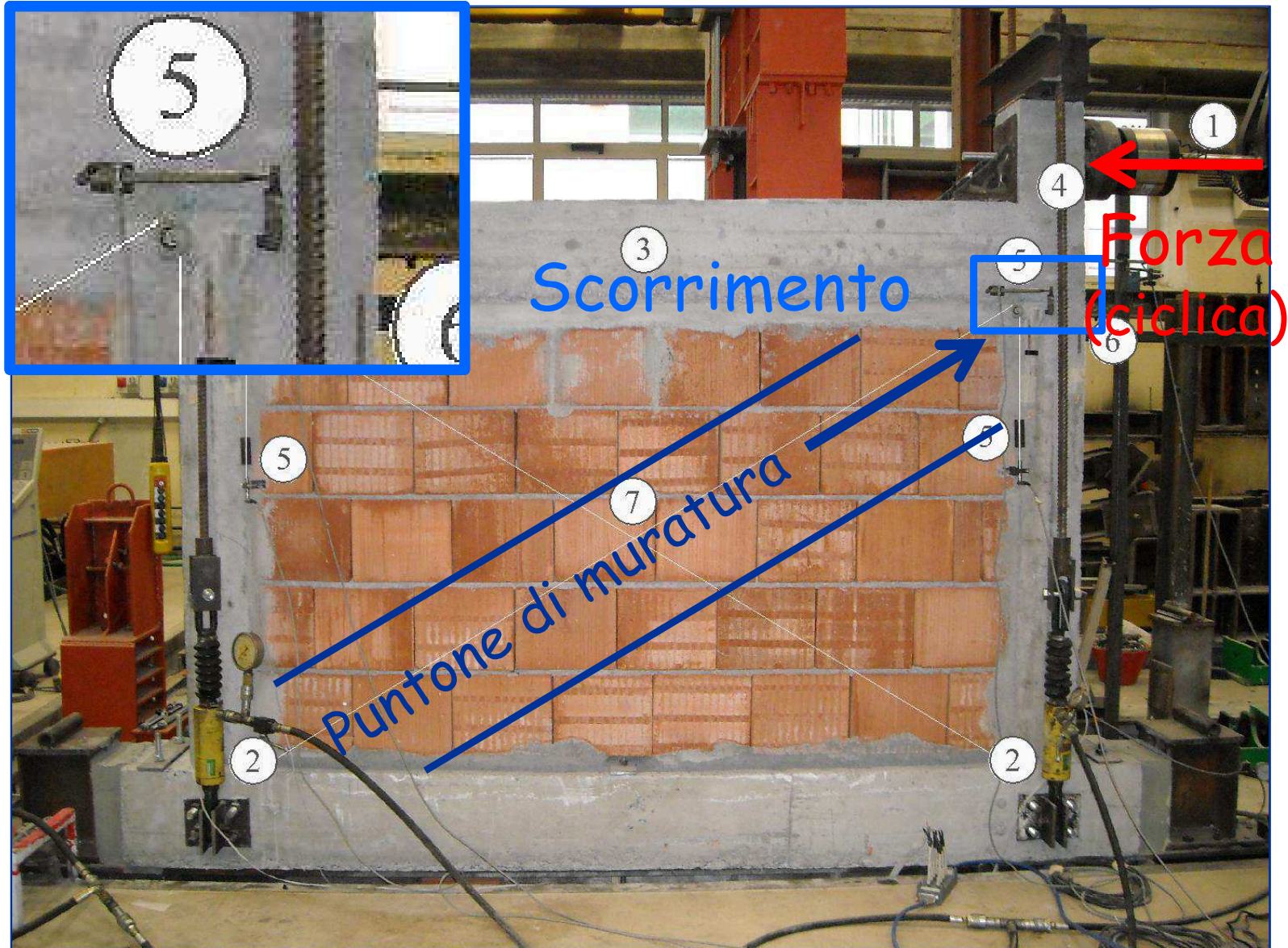
Prova di scorrimento su telaio

Laboratorio Prove Materiali dell'Università di Catania



Prova di scorrimento su telaio

Laboratorio Prove Materiali dell'Università di Catania



Prova di scorrimento su telaio

graficizzazione dei risultati sperimentali



Prova di scorrimento su telaio

fase finale, con grandi scorrimenti



Prova di scorrimento su telaio

fase finale, con grandi scorrimenti



Verifica allo scorrimento

- Lungo il piano di scorrimento nelle pareti tozze occorre verificare che:

$$V_{Ed} \leq V_{dd} + V_{id} + V_{fd}$$

V_{dd} Resistenza per effetto spinotto

V_{id} Resistenza a taglio di eventuali barre diagonali

V_{fd} Resistenza per attrito

Vedere foglio Excel "VerificaParete"

Verifica allo scorrimento

resistenza per effetto spinotto

- Resistenza a taglio delle barre verticali A_{sj} che attraversano la sezione di scorrimento

~~$$\frac{f_{yd}}{\sqrt{3}} \sum A_{sj}$$~~

Le barre sono parzialmente impegnate flessionalmente:

$$\Rightarrow 0.25 f_{yd} \sum A_{sj}$$

- In alternativa, si deve considerare l'azione che determina l'espulsione del copriferro

$$1.3 \sum A_{sj} \sqrt{f_{cd} f_{yd}}$$

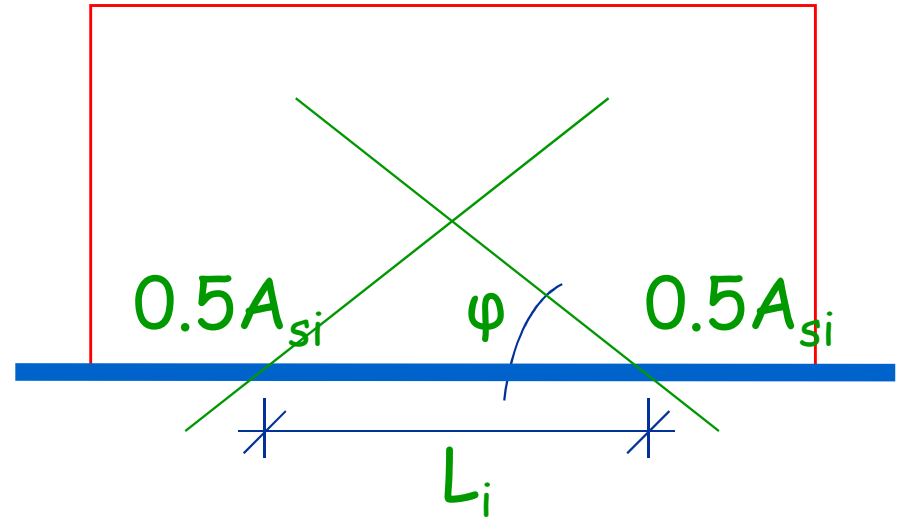
- Si deve considerare il più piccolo tra i due valori

$$V_{dd} = \min \begin{cases} 1.3 \sum A_{sj} \sqrt{f_{cd} f_{yd}} \\ 0.25 f_{yd} \sum A_{sj} \end{cases}$$

Verifica allo scorrimento

resistenza a taglio delle barre diagonali

$$V_{id} = \sum A_{si} f_{yd} \cos \varphi$$



Nota: La presenza delle armature inclinate determina però anche un incremento del momento resistente (e quindi del taglio sollecitante)

$$\Delta M_{Rd} = 0.5 L_i \sum A_{si} f_{yd} \sin \varphi$$

- Per le pareti tozze una buona parte dello scorrimento deve essere affidato a barre diagonali

$$V_{id} \geq V_{Ed}/2$$

Parete con barre diagonali

Edificio in costruzione

Per contrastare lo scorrimento della parete sono state disposte barre inclinate che attraversano le riprese di getto



foto M. Dasasso

Verifica allo scorrimento

resistenza per attrito

- La resistenza allo scorrimento dovuto all'attrito può essere valutato come somma di due contributi
 - contributo del calcestruzzo
 - contributo dell'armatura compressa

Verifica allo scorrimento

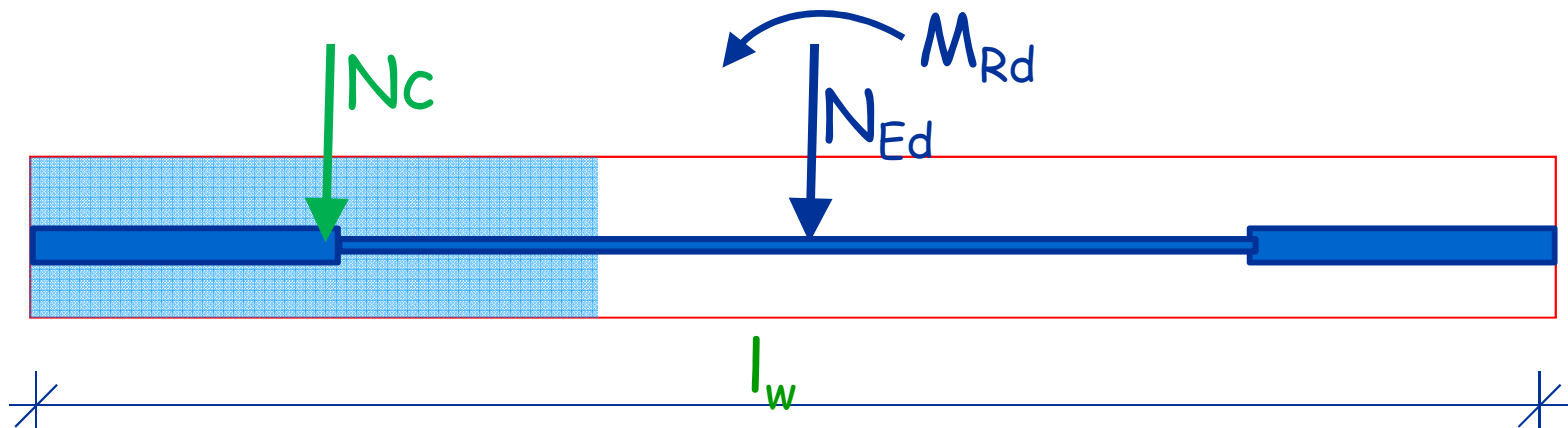
resistenza per attrito

- Contributo del calcestruzzo
 - concettualmente dovrebbe essere:

$$V_{fd} = \mu_f N_c$$

N_c valutato da verifica a presso-flessione

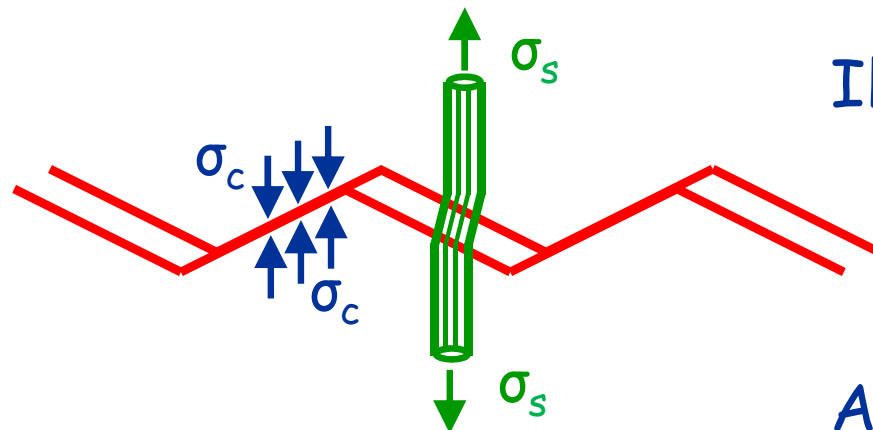
$\mu_f = 0.6$, coefficiente d'attrito sotto azioni cicliche



Verifica allo scorrimento

resistenza per attrito

- Contributo dell'armatura compressa
 - Lo scorrimento relativo tra le facce di una lesione produce un incremento dello spessore della fessura che determina trazione nelle barre
 - La trazione è equilibrata da una forza di compressione agente sul calcestruzzo vicino alle barre



Il contributo dell'armatura vale

$$\mu_f \sum A_{sj,c} f_{yd}$$

$A_{sj,c}$ armatura in zona compressa

Verifica allo scorrimento

resistenza per attrito

- La resistenza allo scorrimento dovuto all'attrito potrebbe essere espressa con

$$V_{fd} = \mu_f \left(\sum A_{sj,c} f_{yd} + N_c \right) \quad \mu_f = 0.6$$

- La normativa fornisce come indicazione

$$V_{fd} = \mu_f \left[\left(\sum A_{sj} f_{yd} + N_{Ed} \right) \xi + \frac{M_{Ed}}{z} \right] \quad \mu_f = 0.6$$

$$\xi N_{Ed} + \frac{M_{Ed}}{z} \quad \text{corrisponde ad } N_c$$

$$\xi \sum A_{sj} \quad \text{corrisponde a } \sum A_{sj,c}$$

Resistenza per attrito

confronto tra le due espressioni

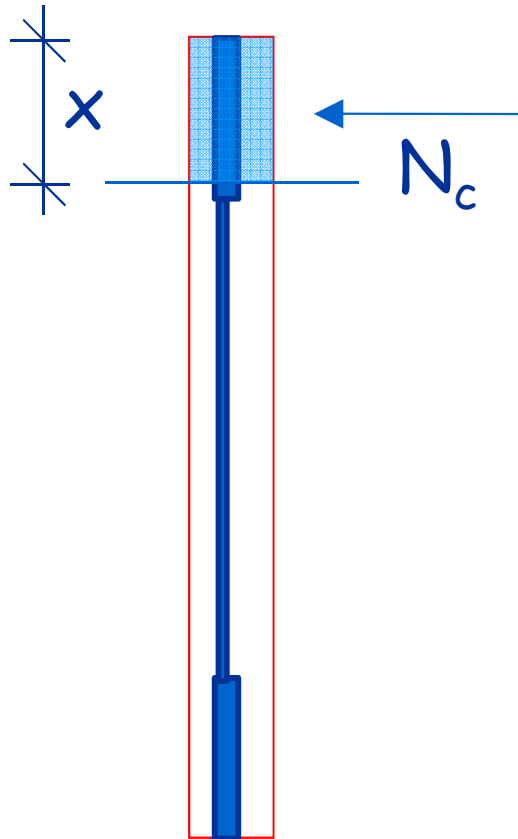
Sezione 20x400

$A_{sc} = 12 \phi 16, I_c = 80 \text{ cm}^4$

$A_{snc} = 10 \phi 12, I_{nc} = 240 \text{ cm}^4$

$N_{max} = -1000 \text{ kN}$

$M_{Rd} = 6196 \text{ kNm}$



Asse neutro

$$x = 74.8 \text{ cm}$$

Risultante tensioni di compressione

$$N_c = 1715 \text{ kN}$$

Armatura compressa

$$\sum A_{sj,c} = \frac{x}{I_c} A_{sc} = \frac{74.8}{80} \times 24.1 = 22.5 \text{ cm}^2$$

Resistenza per attrito

confronto tra le due espressioni

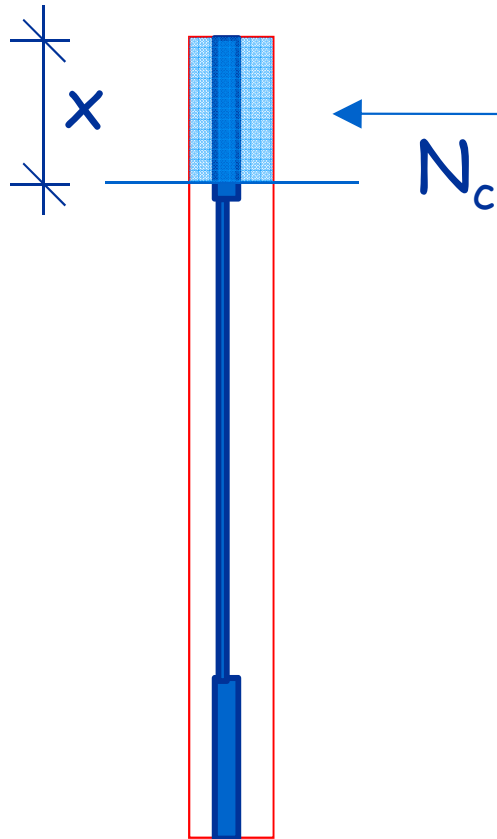
Sezione 20x400

$A_{sc} = 12 \phi 16, l_c = 80 \text{ cm}$

$A_{snc} = 10 \phi 12, l_{nc} = 240 \text{ cm}$

$N_{Ed} = -1000 \text{ kN}$

$M_{Rd} = 5543 \text{ kNm}$



$$V_{fd} = \mu_f \left(\sum A_{sj,c} f_{yd} + N_c \right) = 0.6 \left(\frac{22.5 \times 391.3}{10} + 1715 \right) = 1557 \text{ kN}$$

Secondo normativa

$$V_{fd} = \mu_f \left[\left(\sum A_{sj} f_{yd} + N_{Ed} \right) \xi + \frac{M_{Ed}}{z} \right] = 1732 \text{ kN}$$

59.5 cm^2 0.187

Resistenza per attrito

confronto tra le due espressioni

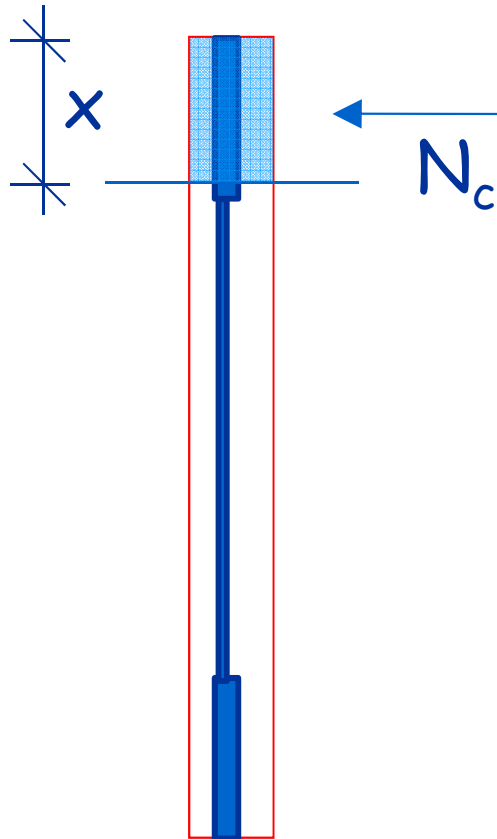
Sezione 20x400

$A_{sc} = 12 \phi 16, l_c = 80 \text{ cm}$

$A_{snc} = 10 \phi 12, l_{nc} = 240 \text{ cm}$

$N_{Ed} = -1000 \text{ kN}$

$M_{Rd} = 5543 \text{ kNm}$



$$V_{fd} = \mu_f \left(\sum A_{sj,c} f_{yd} + N_c \right) = 0.6 \left(\frac{22.5 \times 391.3}{10} + 1715 \right) = 1557 \text{ kN}$$

Secondo normativa

$$V_{fd} = \mu_f \left[\left(\sum A_{sj} f_{yd} + N_{Ed} \right) \xi + \frac{M_{Ed}}{z} \right] = 1413 \text{ kN}$$

Sono quasi uguali

Resistenza per attrito

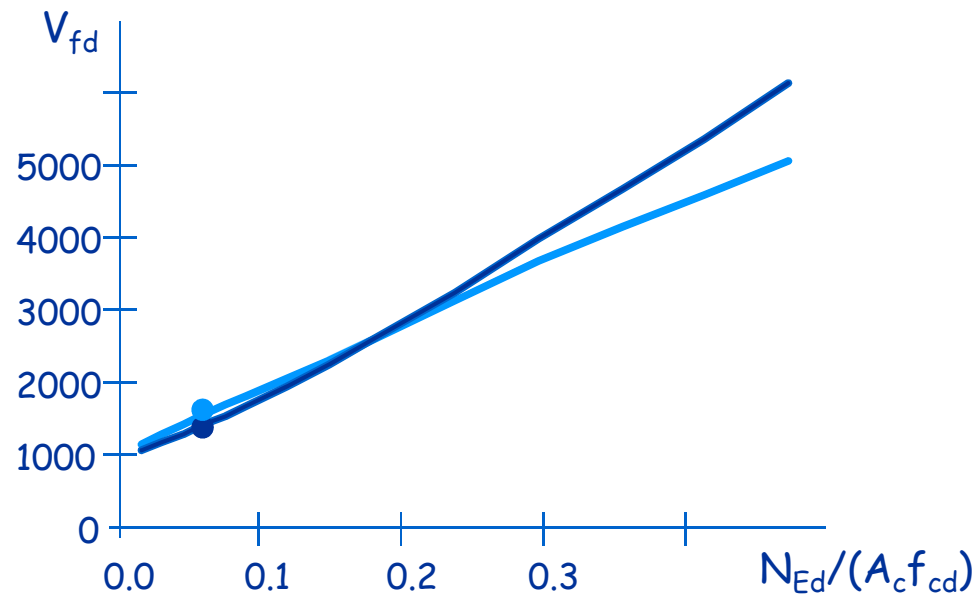
confronto tra le due espressioni

Approccio teorico:

$$V_{fd}=1557 \text{ kN}$$

Da normativa:

$$V_{fd}=1413 \text{ kN}$$

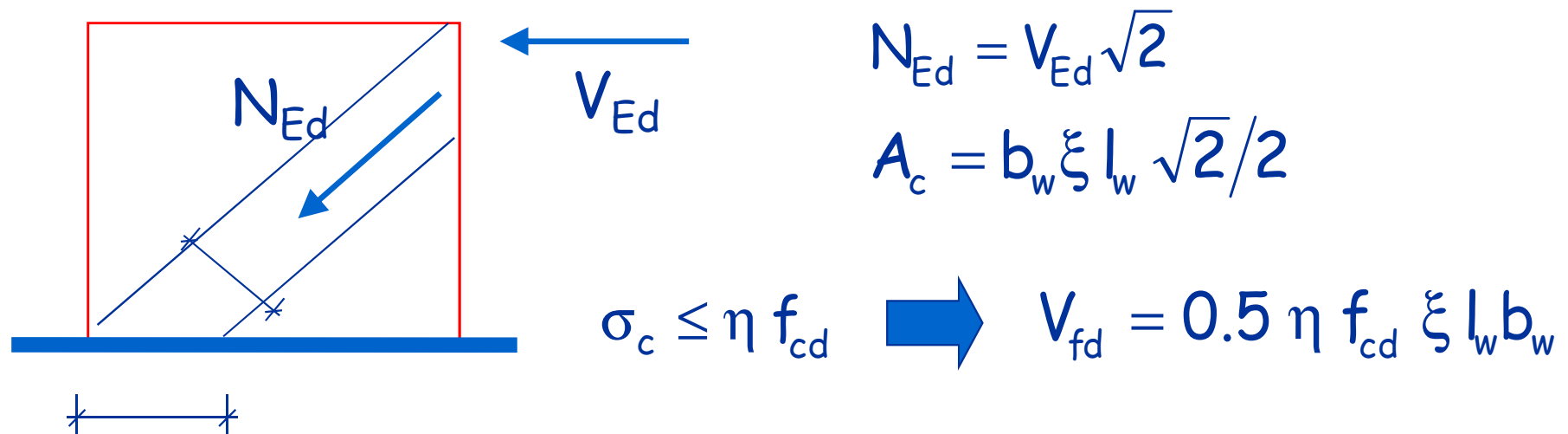


I due approcci forniscono valori simili fino a valori di N_{Ed} pari al 25% di $A_c f_{cd}$

Verifica allo scorrimento

resistenza per attrito

- L'azione esterna è trasmessa alla base della setto mediante un puntone compresso che non deve subire schiacciamento



$$N_{Ed} = V_{Ed} \sqrt{2}$$

$$A_c = b_w \xi l_w \sqrt{2}/2$$

$$\sigma_c \leq \eta f_{cd} \Rightarrow V_{fd} = 0.5 \eta f_{cd} \xi l_w b_w$$

ξl_w (porzione compressa alla base del setto)

La resistenza del puntone compresso rappresenta il limite superiore alla resistenza per attrito

Verifica allo scorrimento

resistenza per attrito

- L'azione esterna è trasmessa alla base della setto mediante un puntone compresso che non deve subire schiacciamento

$$V_{fd} = \min \begin{cases} 0.5 \eta f_{cd} \xi L_w b_w \\ \mu_f \left(\sum A_{sj,c} f_{yd} + N_c \right) \end{cases}$$
$$\eta = 0.6 \left(1 - \frac{f_{ck}}{250} \right)$$
$$\mu_f = 0.6$$